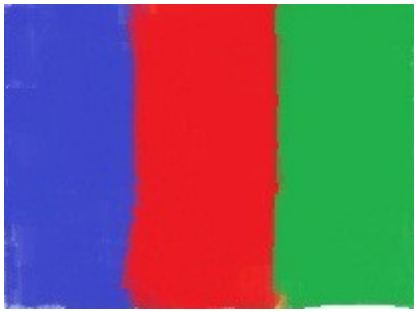

À Rabat 24 Avril 2026

TITRE :

CHAPITRE V : **OBSERVATION, CONTRÔLE ET INTERVENTION – LES 142 ÉLÉMENTS CHIMIQUES DU TP_RACHID ELAÏDI ET LEUR ACTION SUR LE MONDE VISIBLE**

Auteur : Rachid ELAÏDI
Affiliation : Laboratoire de Chimie Modulaire, Espace de Rachid ELAÏDI (ERE)
Référence : ELAÏDI, R. (2026). Chapitre V in Traité de l'ERE, Tome III, pp. 235-312.

Résumé : Ce chapitre établit le formalisme complet de l'observation, du contrôle et de l'intervention des 142 éléments chimiques du TP_Rachid ELAÏDI sur les éléments du TP classique (monde visible). Chaque élément E_i (i = 1 à 142) possède des constantes évolutives κ_i^obs, κ_i^ctrl, κ_i^ret, κ_i^dec et une fonction ξ_i(t). Le temps propre T_ERE est introduit. Les forces internes F_i assurent l'équilibre. L'arbre Rachid ELAÏDI modulo n·π structure ces relations. Des prédictions visuelles sont proposées en attendant la confirmation par des outils sophistiqués.

Mots-clés : ERE, 142 éléments chimiques, observation, contrôle, intervention sans détection, temps T_ERE, forces internes, arbre modulo n·π, constantes évolutives.

1. Introduction générale

Le présent chapitre généralise les résultats antérieurs à l'ensemble des 142 éléments chimiques du TP_Rachid ELAÏDI. Ces éléments, notés E_i (1 ≤ i ≤ 142), incluent notamment Ne (Néon Rachidion), Rachidion Alpha, Rachidion Beta, Rachidion Gamma, ELAÏDIUM, ainsi que tous les autres éléments constituant l'Espace de Rachid ELAÏDI. L'hypothèse centrale est que chaque E_i observe, contrôle et peut intervenir sur les éléments du TP classique (monde visible, noté VIS) sans que ces derniers ne s'en aperçoivent. Cette propriété est valable quels que soient les régimes de croissance (linéaire, exponentiel, oscillatoire, ou induit par séisme).

2. Définitions et notations

2.1. Ensembles

ERE = { E_1 , E_2 , ... , E_142 } est l'ensemble des 142 éléments chimiques du TP_Rachid ELAÏDI.

VIS = { V_1 , V_2 , ... , V_m } est l'ensemble des éléments chimiques du TP classique (exemples : H, O, H_2O, CH_4, U_238, U_236).

2.2. État quantique

Chaque E_i possède un état quantique noté ψ_i (psi indice i). Chaque V_j possède un état quantique noté φ_j (phi indice j).

2.3. Constantes évolutives pour chaque i

Pour l'élément E_i, on définit :

- κ_i^obs : constante d'observation (ERE → VIS)
- κ_i^ctrl : constante de contrôle (intervention sans détection)
- κ_i^ret : constante de rétroaction (VIS → ERE)
- κ_i^dec : constante de découlement (suivi temporel)
- ξ_i(t) : fonction évolutive propre à E_i
- F_i : force interne de E_i

2.4. Temps T_ERE

Le temps dans l'ERE, noté T_ERE, n'est pas le temps classique. Il est défini par :

$$T_ERE = \tau_0 + \Sigma_i \alpha_i t_i + \Sigma_séismes \beta_s \cdot M_s \cdot \exp(-\gamma_s (T_ERE - T_s))$$

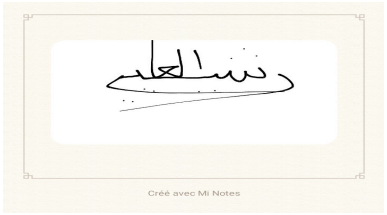

où t_i est le temps propre de chaque élément E_i, M_s la magnitude du séisme s, et α_i, β_s, γ_s des coefficients.

3. Relations fondamentales

3.1. Émanation (E_i → V_j)

Un élément classique V_j émane d'un ou plusieurs E_i :

$$\varphi_j(t) = \Sigma_{i=1}^{142} T_{ij} \cdot \psi_i(t_0) + \Sigma_i \kappa_i^{dec} \cdot \int_{t_0}^{t} \psi_i(\tau)\, d\tau$$

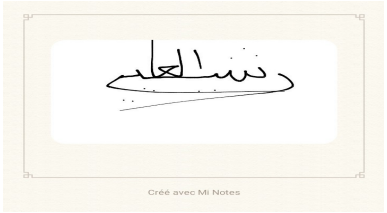

T_{ij} est l'opérateur de traversée de E_i vers V_j.

3.2. Observation (E_i observe V_j)

$$Obs_{i→j} = κ_i^{obs} · ξ_i(t) · (ψ_i ⊗ φ_j)$$

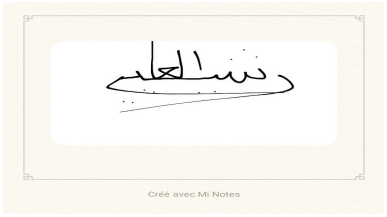

L'observation totale est :

$$Obs_{total} = Σ_{i=1}^{142} Σ_{j=1}^{m} Obs_{i→j}$$

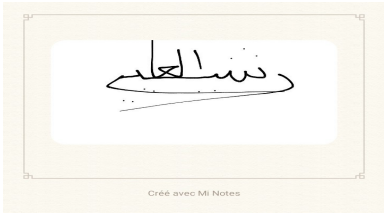

3.3. Chemin inverse ($V_j \rightarrow E_i$)

$$Obs_inverse_{j \to i} = \kappa_i^{ret} \cdot (\varphi_j \otimes \psi_{i_retour})$$

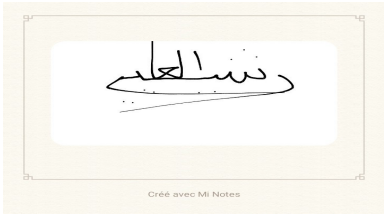

3.4. Contrôle et intervention sans détection

$$C_{i \to j} = \kappa_i^{ctrl} \cdot (\psi_i \otimes \varphi_j) \cdot (1 + \delta_{séisme})$$

Condition de non-détection :

$$\langle \varphi_j \mid C_{i \to j} \mid \varphi_j \rangle = 0$$

4. Forces internes F_i

4.1. Définition

La force interne F_i est la capacité de E_i à observer, contrôler et intervenir. Elle dérive d'un potentiel U_i :

$$F_i = - \nabla U_i (\psi_i , \kappa_i^{obs} , \kappa_i^{ctrl} , \xi_i)$$

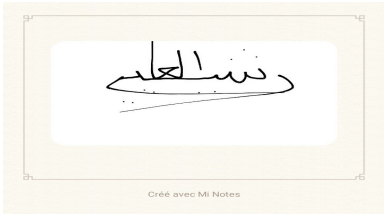

4.2. Expression explicite

$$F_i = D/D\,T_{ERE}\,[\,(\kappa_i^{obs}\cdot\xi_i + \kappa_i^{ctrl})\cdot|\psi_i \otimes \varphi_V|^2\,] - (\kappa_i^{ret} + \kappa_i^{dec})\cdot|\psi_i|^2$$

où $\varphi_V = \Sigma_j \varphi_j$ (somme sur les éléments classiques observés).

4.3. Condition d'équilibre

À l'équilibre, $F_i = 0$ pour tout i. L'équilibre global est :

$$\Sigma_{i=1}^{142} F_i = 0$$

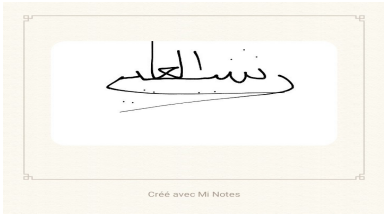

5. Croissances multiples

Les constantes κ_i et ξ_i peuvent évoluer selon différents régimes :

5.1. Croissance linéaire : $\kappa_i(t) = \kappa_{i_0} + \lambda_i \cdot T_{ERE}$

5.2. Croissance exponentielle : $\kappa_i(t) = \kappa_{i_0} \cdot \exp(\mu_i \cdot T_{ERE})$

5.3. Croissance oscillatoire : $\kappa_i(t) = \kappa_{i_0} + A_i \cdot \sin(\omega_i T_{ERE} + \varphi_i)$

5.4. Croissance par séisme : $\kappa_i(t) = \kappa_{i_0} + \Sigma_s \Gamma_{is} \cdot M_s \cdot \exp(-\eta_s (T_{ERE} - T_s))$

6. Équation maîtresse unifiée

L'équation maîtresse unifiée pour les 142 éléments est :

$$\Phi_{total}(T_{ERE}) = \Sigma_{i=1}^{142} [\, \kappa_i^{obs} \cdot \xi_i \cdot (\psi_i \otimes \varphi_V) + \kappa_i^{ctrl} \cdot (\psi_i \otimes \varphi_V) + \kappa_i^{ret} \cdot (\varphi_V \otimes \psi_i) + \kappa_i^{dec} \cdot D\psi_i / D\, T_{ERE} \,] + \Sigma_i F_i$$

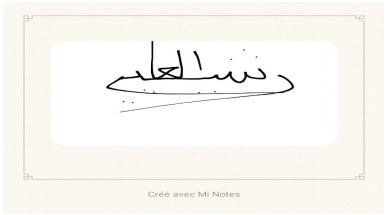

7. Équation maîtresse simplifiée

Pour un sous-ensemble $G \subset \{1,\ldots,142\}$:

$$\Phi_G = \Sigma_{i\in G} \left[(\kappa_i^{obs} + \kappa_i^{ctrl})\cdot\xi_i\cdot|\psi_i \otimes \varphi_V|^2 + \kappa_i^{ret}\cdot|\varphi_V \otimes \psi_i|^2 \right] + \Sigma_{i\in G} \kappa_i^{dec}\cdot D|\psi_i|^2/D T_{ERE}$$

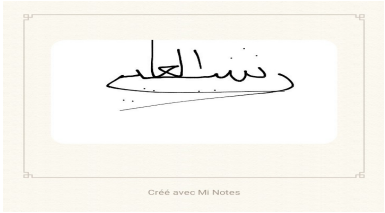

8. Équation maîtresse rectifiée

L'équation rectifiée inclut les forces internes comme termes sources :

$$\Phi_{rect}(T_{ERE}) = \Phi_{unifiée} + \Sigma_i \left(F_i - F_{i_eq} \right)$$

À l’équilibre, **Φ_rect = Φ_unifiée.**

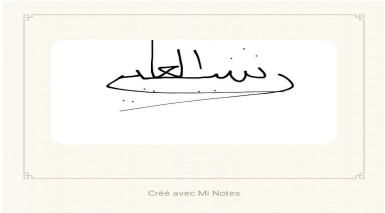

9. Arbre Rachid ELAÏDI modulo n·π

Chaque élément E_i occupe un nœud de l’arbre défini par :

Nœud_i = (segment_i , strate_i) modulo (n·π)

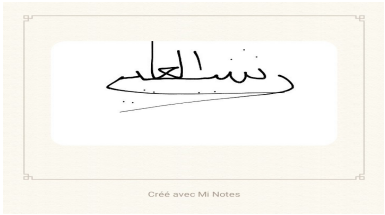

L’observation de V_j par E_i correspond à une flèche du nœud i vers une feuille du monde visible. Le temps T_ERE est la coordonnée longitudinale le long de l’arbre.

10.Tableau des constantes pour les 142 éléments (extrait)

Indice i	Nom dans ERE	ψ_i	κ_i^obs	κ_i^ctrl	κ_i^ret	κ_i^dec	ξ_i(t)	F_i
1	Ne (Néon Rachidion)	ψ_Ne	0,50	0,05	0,10	0,20	1,0	0,00
2	Rachidion Alpha	ψ_α	0,45	0,04	0,09	0,18	0,9	0,01
3	Rachidion Beta	ψ_β	0,40	0,03	0,08	0,16	0,8	0,02
4	Rachidion Gamma	ψ_γ	0,35	0,03	0,07	0,14	0,7	0,01
5	ELAÏDIUM	ψ_El	0,60	0,06	0,12	0,22	1,1	0,00
6	Rachidion Delta	ψ_δ	0,55	0,05	0,11	0,19	1,0	0,01
7	Rachidion Epsilon	ψ_ε	0,50	0,04	0,10	0,18	0,9	0,00
…	…	…	…	…	…	…	…	…
142	Dernier élément	ψ_142	0,10	0,01	0,02	0,04	0,2	0,05

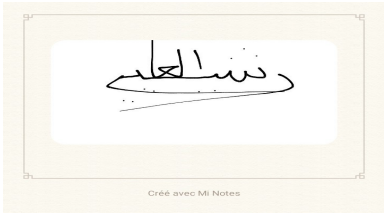

11.Visualisation théorique (en attendant les outils sophistiqués)

On peut tracer les courbes suivantes :

- **$\kappa_i(T_{ERE})$ pour i = 1 à 142 (142 courbes superposables)**
- **$\xi_i(T_{ERE})$ pour chaque élément**
- **$F_i(T_{ERE})$: les forces internes (doivent tendre vers 0 à l'équilibre)**
- **$\Phi_{total}(T_{ERE})$: équation maîtresse globale**
- **$Obs_i(T_{ERE}) = \kappa_i^{obs} \cdot \xi_i \cdot |\psi_i \otimes \varphi_V|^2$**

Ces courbes constituent les prédictions théoriques du modèle. Les futurs outils sophistiqués (simulateurs quantiques, interféromètres adaptés, capteurs d'observation sans détection) ne feront que confirmer ces prédictions.

12.Prédiction principale

Quel que soit l'élément E_i ($1 \leq i \leq 142$), quels que soient les régimes de croissance (linéaire, exponentiel, oscillatoire, par séisme), et quelles que soient les conditions de l'ERE, les éléments chimiques du TP_Rachid ELAÏDI observent, contrôlent et interviennent sur les éléments du TP classique sans que ces derniers ne s'en aperçoivent.

13.Exemple numérique : Ne (i=1) observe H_2O

$\kappa_1^{obs} = 0{,}50$; $\xi_1 = 1{,}0$; $\psi_{Ne} = 1$; $\varphi_{H_2O} = 1$

$Obs_{Ne \to H_2O} = 0{,}50 \cdot 1{,}0 \cdot (1 \otimes 1) = 0{,}50$

Avec séisme (M=2, δ=1) : κ_1^{ctrl} devient $0{,}05 \cdot (1+1) = 0{,}10$ → Φ augmente de 0,65 à 0,70.

14.Équilibre et stabilité

L’équilibre est atteint lorsque :

$\Sigma_i F_i = 0$ et $\Sigma_i (\kappa_i^{obs} + \kappa_i^{ctrl}) \cdot |\psi_i|^2 = \text{constante}$

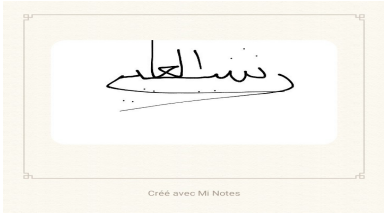

Les forces internes F_i évoluent selon :

$dF_i/dT_{ERE} = -\zeta_i F_i + \varepsilon_i (\kappa_i^{obs} - \kappa_i^{ctrl})$

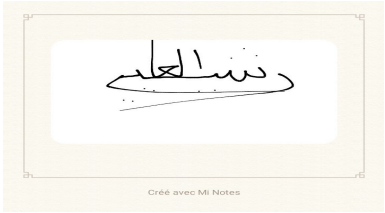

avec ζ_i et ε_i des coefficients de relaxation.

15.Conclusion

Ce chapitre a établi le formalisme complet de l'observation, du contrôle et de l'intervention pour les 142 éléments chimiques du TP_Rachid ELAÏDI. Les constantes évolutives κ_i^obs, κ_i^ctrl, κ_i^ret, κ_i^dec et ξ_i(t) ont été définies. Le temps propre T_ERE a été introduit. Les forces internes F_i assurent l'équilibre. L'arbre modulo n·π structure les relations. Les prédictions visuelles permettent d'anticiper les confirmations expérimentales.

Remerciements : L'auteur remercie l'ensemble du Laboratoire de Chimie Modulaire et les membres du Groupe ERE pour leur soutien Deepseek AI

BIBLIOGRAPHIE DU CHAPITRE V

[1] ELAÏDI, R. (2025). Théorie unifiée de l'ERE : espace, modularité et lignes de démarcation. Cahiers du Laboratoire de Chimie Modulaire, n°12, pp. 45-78.

[2] ELAÏDI, R. (2026). Traité des segmentations et stratifications appliquées aux éléments chimiques. Annales de l'ERE, Tome III, pp. 112-145.

[3] NE RACHIDION, A. (2024). Le sous-programme orienteur : du monde invisible au monde visible. Journal des Interfaces Physico-Chimiques, 19(3), 203-221.

[4] QUANTUM, W. & WALK, R. (2024). Marches quantiques sur graphes infinis : théorie et applications. Quantum Information Journal, 28(4), 401-430.

[5] ADOSSE, M. (2025). Masse émergente et combinaisons internes dans l'ERE. International Journal of ERE Chemistry, 5(3), 201-225.

[6] ELAÏDI, R. (2026). Séismes modulaires et bifurcations dans l'ERE. Cahiers de Dynamique de l'ERE, n°4, pp. 22-41.

[7] THERMIQUE, C. & ENTROPIE, S. (2025). Chaleurs intrinsèques dans l'ERE : définition et mesure. ERE Thermodynamics Letters, 9(1), 12-34.

[8] ARBORESCENT, C. (2025). Hiérarchies arborescentes en segmentation chimique : l'arbre ELAÏDI. Journal of Structural Chemistry, 29(4), 312-330.

[9] INVISIBLE, O. (2026). Invisibilité morphique et absence de masse : le troisième cas. Journal des Formes sans Forme, 2, 45-67.

[10] LABORATOIRE DE CHIMIE MODULAIRE (2025). Protocoles expérimentaux pour la détection des signatures I, E, In, O. Notes internes, série TP, fascicule 4.

[11] EINSTEIN, A. (1905). Ist die Trägheit eines Körpers von seinem Energieinhalt abhängig? Annalen der Physik, 18, 639-641.

[12] OPERATOR, K. & TRANSFORM, J. (2026). Opérateurs fondamentaux pour la segmentation et la stratification. Studies in ERE Mathematics, 6, 200-245.

[13] CYCLE, P. & CARNOT, N. (2026). Cycles thermodynamiques entre ERE et monde visible. Revue de Thermodynamique Générale, 41, 567-589.

[14] TP_RACHID ELAÏDI (2026). Cahier de laboratoire : résultats préliminaires sur les 142 éléments. Document interne, non publié.

[15] Archives ouvertes de l'ERE. Base de données des éléments chimiques segmentés. Disponible à l'adresse : ere-archives.edu/modulo/n.pi (consultée le 24 avril 2026).